

# Решение линейных и нелинейных пространственных задач механики разрушения на основе полуаналитического метода конечных элементов. Сообщение 1. Теоретические основы и исследование эффективности конечноэлементной методики решения пространственных задач механики разрушения

**В. А. Баженов, А. И. Гуляр, С. О. Пискунов, А. С. Сахаров, А. А. Шкрыль, Ю. В. Максимюк**

Киевский национальный университет строительства и архитектуры, Киев, Украина

*Изложены теоретические подходы и методика вычисления параметров нелинейной механики разрушения в призматических телах с трещинами с использованием метода конечных элементов. Проанализированы эффективность предложенных подходов и достоверность полученных результатов.*

**Ключевые слова:** механика разрушения, инвариантный  $J$ -интеграл, контур интегрирования, метод конечных элементов, линейная и нелинейная задачи.

Для решения большинства задач механики разрушения требуется применение численных методов, в частности метода конечных элементов (МКЭ). Особенno сложными при этом являются постановка и разработка процедур решения задач механики разрушения в трехмерной постановке. Повышение эффективности процедуры конечноэлементного решения таких задач может быть достигнуто с использованием специальных модификаций МКЭ, одной из которых является полуаналитический метод конечных элементов (ПМКЭ) [1, 2]. Метод показал высокую эффективность при решении широкого круга задач об определении коэффициентов интенсивности напряжений (КИН) на основе прямого метода при силовом [1, 2] и термосиловом [3] нагружении, а также задач о моделировании роста трещин в пространственных телах [4]. Однако область применения прямых методов и определяемых на их основе величин КИН ограничена задачами линейной механики разрушения при рассмотрении упругого деформирования тел. При этом, учитывая однозначную связь между  $J$ -интегралом и КИН при упругом деформировании, возможность параллельного вычисления параметров механики разрушения как прямыми, так и энергетическими методами позволяет осуществлять проверку достоверности получаемых результатов. В случае наличия существенных пластических деформаций для оценки несущей способности тел с трещинами необходимо применять энергетические подходы к определению параметров механики разрушения, в частности  $J$ -интеграла Черепанова–Райса [5, 6] – наиболее универсального параметра, который может быть использован в нелинейных задачах механики разрушения.

Цель данной работы состоит в создании теоретических основ, проведении практической реализации методики вычисления контурного  $J$ -интеграла в пространственных призматических телах на основе ПМКЭ, анализе досто-

верности получаемых результатов, в том числе с точки зрения удовлетворения фундаментальных свойств инвариантности  $J$ -интеграла, и сравнении эффективности разработанной методики с другими известными подходами. При этом предполагается также реализация новой методики вычисления  $J$ -интеграла, которая обеспечит его инвариантность в дискретных моделях МКЭ как в линейных, так и в нелинейных пространственных задачах механики разрушения.

В соответствии с базовым определением  $J$ -интеграла [5, 6] для его вычисления в некоторой точке фронта трещины (на рис. 1 т. С) в ее окрестности выделяют поверхность  $F = F_1 + F_2 + F_k$  произвольной конфигурации, охватывающую фронт трещины и имеющую характерный размер  $\Delta$  вдоль него.

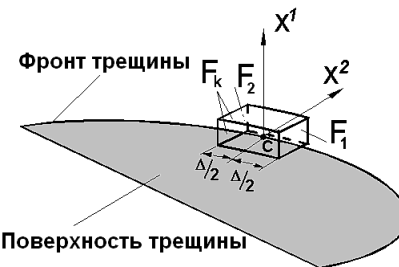


Рис. 1. Поверхность интегрирования в точке определения  $J$ -интеграла.

Формула для вычисления  $J$ -интеграла, полученная на основе гипотез механики сплошной среды, имеет вид

$$J_k = \frac{1}{\Delta} \int_F \left( W n_k - \sigma^{ij} \frac{\partial u_i}{\partial x_j} n_j \right) dF, \quad (1)$$

где  $W$  – величина полной энергии деформирования,  $W = \int_0^{\varepsilon_{ij}} \sigma_{ij} d\varepsilon_{ij}$ ;  $\sigma^{ij}$ ,  $\varepsilon_{ij}$  – компоненты тензора напряжений и деформаций;  $n_k$  – компоненты внешней нормали к поверхности интегрирования  $F$ ;  $u_i$  – перемещение.

Поверхность для вычисления  $J$ -интеграла в окрестности любой из точек фронта трещины будет состоять из контурной ( $F_k$ ) и двух боковых ( $F_1$  и  $F_2$ ):

$$J = \frac{1}{\Delta} (J_{F_k} + J_{F_1} + J_{F_2}). \quad (2)$$

Учитывая особенности построения дискретных моделей на основе ПМКЭ, при решении задач механики разрушения для тел канонической формы, в зависимости от характерного взаимного расположения фронта трещины и образующей, целесообразно рассматривать тела с продольными и поперечными трещинами [2].

В телах с продольными трещинами фронт и поверхность трещины расположены в плоскости, перпендикулярной к плоскости поперечного сечения. Точки вычисления  $J$ -интеграла (на рис. 1 т. С) в этом случае находятся

посередине между каждой парой точек интегрирования (на рис. 2 т.  $C'$  и  $C''$ ), а боковые поверхности  $F_1$  и  $F_2$  проходят через эти точки.

Необходимо отметить, что рассмотрение дискретных моделей ПМКЭ для тел с продольными трещинами при выполнении условий равенства нулю перемещений  $u^{3'}$  на торцах (поверхностях, перпендикулярных оси  $z^{3'}$ ) позволяет решать задачи механики разрушения для объектов с постоянными вдоль фронта трещины значениями параметров механики разрушения. Такие задачи фактически эквивалентны двухмерным задачам, что дает возможность оценить достоверность результатов, полученных с использованием аппарата решения пространственных задач на основе ПМКЭ, путем их сравнения с известными решениями двухмерных задач с помощью МКЭ.

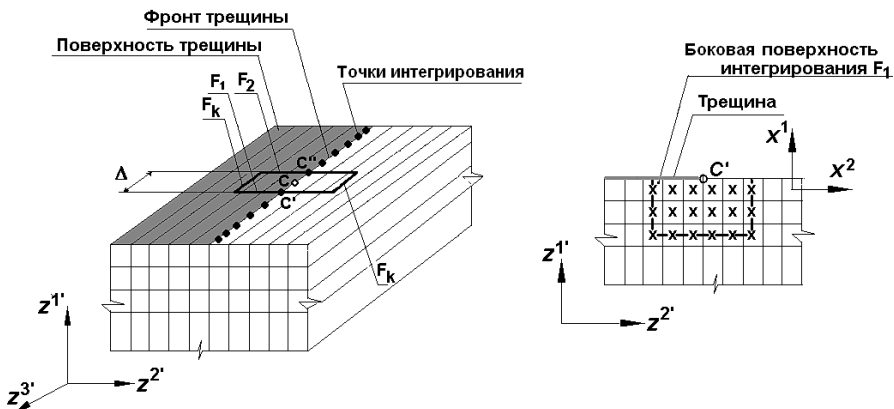


Рис. 2. Схема определения  $J$ -интеграла в тела с продольными трещинами.

В тела с поперечными трещинами фронт и поверхность трещины расположены в плоскости поперечного сечения тела (рис. 3), поэтому аппроксимация фронта трещины выполняется с помощью узлов конечноэлементной сетки. Соответственно  $J$ -интеграл вычисляется в узлах сетки (на рис. 3 т.  $C'$ ). Характерный размер  $\Delta$  поверхности  $F$  при этом определяется размерами конечных элементов (КЭ), прилегающих к данному узлу и расположенных вдоль фронта трещины, а боковые поверхности  $F_1$  и  $F_2$  проходят через центры КЭ.

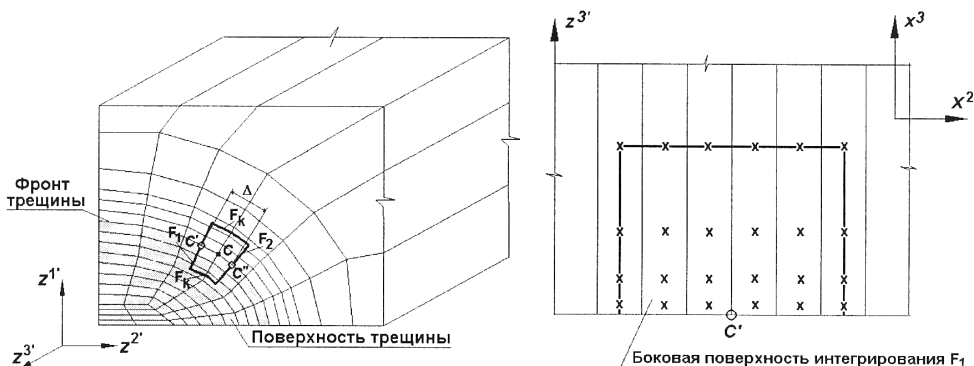


Рис. 3. Схема определения  $J$ -интеграла в тела с поперечными трещинами.

Для исследования пределов применения данной методики и оценки величин возможных погрешностей, которые возникают при численной аппроксимации напряженно-деформированного состояния в окрестности вершины трещины при использовании контуров разного размера, проведен ряд численных экспериментов по определению величины  $J$ -интеграла в тела с трещинами нормального отрыва. На первом этапе рассматриваются тестовые задачи о деформировании пространственных тел с продольными трещинами с постоянными вдоль их фронта значениями параметров механики разрушения.

Для вычисления величины  $J$ -интеграла во всех тестовых примерах поверхность интегрирования выбирается таким образом, чтобы ее поперечное сечение, перпендикулярное к фронту трещины, представляло собой квадрат с равноточными отсчетами от фронта трещины сторонами [2, 7]. Это расстояние характеризуется количеством конечных элементов  $N_e$ . Через середину последнего из элементов проходит поперечное сечение поверхности интегрирования (контур интегрирования). В дальнейшем величина  $N_e$  используется для обозначения указанных П-образных контуров интегрирования (П-контуров). Для обеспечения корректности сравнения получаемых результатов во всех случаях дискретизация области расположения контуров выполняется с использованием регулярной конечноэлементной сетки.

С целью определения характерных размеров контура и соответственно размеров КЭ в области интегрирования, необходимых для получения достоверных результатов вычисления  $J$ -интеграла, рассматривается тестовая задача об одноосном растяжении квадратной пластины с центральной трещиной при упругом деформировании (рис. 4, а) [8]. Решение задачи проводится с использованием ПМКЭ, плата рассматривается как тело с продольной трещиной, на торцах реализованы граничные условия, соответствующие плоскому деформированному состоянию. Эталонные значения  $J$ -интеграла определяются на основе вычисленных прямым методом величин КИН, связанных с  $J$ -интегралом при упругом деформировании соотношением

$$J = k K_I^2 / E, \quad (3)$$

где  $k = 1$  в условиях плоского напряженного состояния;  $k = 1 - \nu^2$  в условиях плоской деформации.

Как было показано ранее [2], обеспечение удовлетворительной точности результатов при вычислении КИН прямым методом требует использования в окрестности вершины трещины КЭ, размер которых составляет  $1/10$  характерного размера трещины  $l_{tp}$  ( $l_e = \frac{1}{10} l_{tp}$ ). С целью исследования зависимости погрешности вычисления  $J$ -интеграла от характерного топологического размера контура для обеспечения сравнения полученных результатов с эталонным решением вычисление  $J$ -интеграла было проведено с использованием в поперечном сечении регулярной сетки размером  $20 \times 20$  КЭ. Принцип построения дискретной модели на основе ПМКЭ проиллюстрирован на рис. 4, б. Рассмотренные при этом контуры интегрирования представлены на

рис. 4,*в*, где также приведена зависимость погрешности вычисления *J*-интеграла от характерного топологического размера контура  $N_e$ . Как видно, сходимость с точностью около 2% достигается при расположении контура на расстоянии трех характерных размеров КЭ от вершины трещины. При большем расстоянии и соответственно увеличении размера контура погрешность уменьшается лишь на 0,2%.

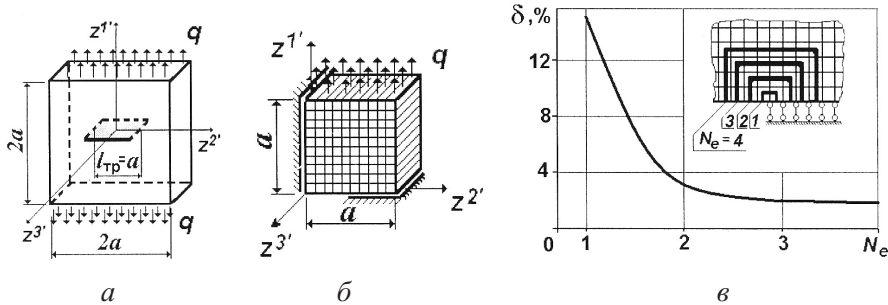


Рис. 4. Пластина с центральной трещиной: *a* – расчетная схема; *б* – конечноэлементная модель; *в* – сходимость *J*-интеграла.

Дальнейшее исследование сходимости результатов было проведено в зависимости от характерного размера КЭ в привершинной области при постоянных топологических размерах контура. Размер КЭ связан с характерным размером трещины соотношением  $l_e = \frac{1}{n_e} l_{tp}$ , где  $n_e$  – количество КЭ вдоль фронта трещины. Наиболее редкая сетка, на которой может быть использован обеспечивающий получение достоверных результатов контур (топологический размер  $N_e = 3$ ),  $6 \times 6$  КЭ при  $n_e = 3$  (поперечное сечение конечно-элементной модели ПМКЭ для тела с продольной трещиной представлено на рис. 5,*а*). Результаты, полученные при дальнейшем сгущении сетки до  $10 \times 10$  (рис. 5,*б*),  $20 \times 20$  (рис. 4), а также  $30 \times 30$  и  $40 \times 40$  КЭ и соответствующем уменьшении размеров КЭ от  $\frac{1}{5}$  до  $\frac{1}{20}$  длины трещины при неизменных топологических размерах контура ( $N_e = 3$ ), показывают, что сходимость с точностью около 2%, так же как и для вычисления КИН на основе прямого метода, достигается при отношении размеров КЭ и трещины 1/10 (рис. 5,*в*).

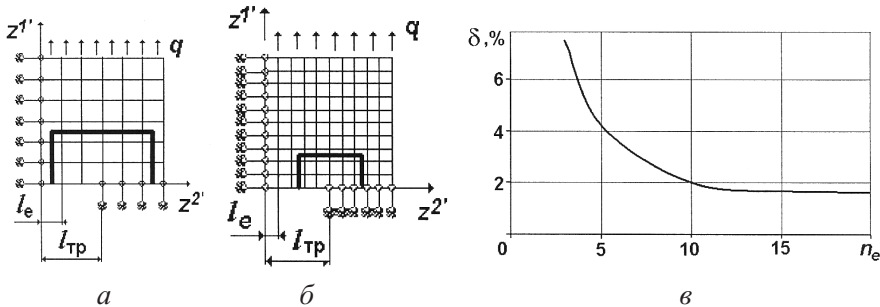


Рис. 5. Контуры топологическим размером  $N_e = 3$  в поперечных сечениях дискретных моделей ПМКЭ (*а*, *б*) и сходимость *J*-интеграла (*в*).

Таким образом, были определены минимально необходимые размеры контура интегрирования, количество и характерные размеры КЭ для достоверного вычисления величины  $J$ -интеграла.

Для изучения вопроса о достоверности вычисления  $J$ -интеграла с использованием формул (1), (2) в нелинейных задачах проводили определение  $J$ -интеграла при деформировании компактного образца (рис. 6, а) [8]. Материал образца – сталь 12Х2МФА, для которой  $E = 2,05 \cdot 10^{11}$  Па,  $\nu = 0,3$ , а закон пластического деформирования имеет вид

$$\bar{\sigma}/\sigma_m = 1 + 0,645(\bar{\varepsilon}_p)^{0,388}, \quad \sigma_m = 637 \text{ МПа.}$$

Поперечное сечение дискретной модели ПМКЭ показано на рис. 6, б. При решении задачи внешняя нагрузка, равнодействующая которой равна силе  $P$ , распределена по внутренней поверхности отверстия.

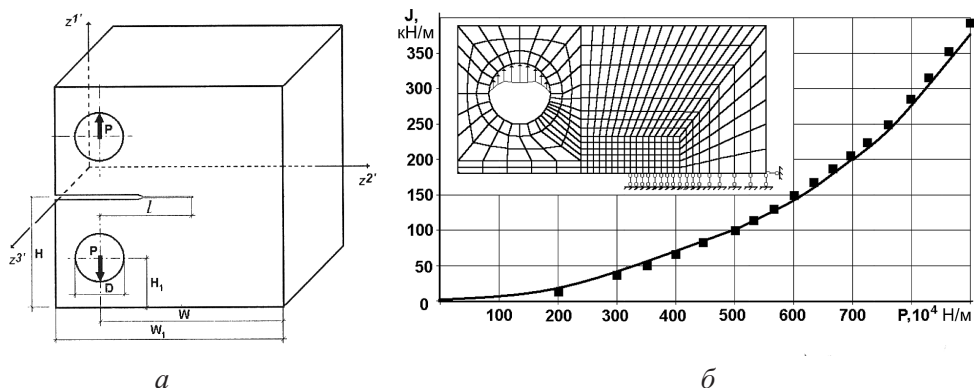


Рис. 6. Расчетная схема компактного образца (а) и результаты вычисления  $J$ -интеграла при разных величинах нагрузки (б): точки – по формулам (1), (2); сплошная линия – по данным [8].

Полученные в условиях плоской деформации с соблюдением условий сходимости значения  $J$ -интеграла при разных величинах нагрузок совпадают с приведенными в [8] (рис. 6, б), что подтверждает достоверность использованного подхода к определению  $J$ -интеграла в задачах упругопластического деформирования при постоянных вдоль фронта трещины значениях параметров механики разрушения.

Эффективность описанной методики вычисления контурного  $J$ -интеграла была исследована на основании анализа результатов решения тестовой задачи о растяжении бесконечной пластины с центральной трещиной в условиях плоской деформации [9] (рис. 7, а). Поперечное сечение дискретной модели рассматриваемого фрагмента пластины размером  $2b \times 2b = 8 \times 8$  см и контур для вычисления  $J$ -интеграла приведены на рис. 7, б. Нагружение фрагмента осуществлялось по плоскостям  $z^1 = b$  и  $z^2 = b$  неравномерно распределенной нормальной нагрузкой  $q = 10 \text{ МН/м}^2$ .

На рис. 8 приведены зависимости величин контурного  $J$ -интеграла от количества неизвестных  $N$  в поперечном сечении конечноэлементной моде-

ли, полученные с использованием рассматриваемой методики (кривая 2) и метода эквивалентного объемного интегрирования [9] (кривая 3) в сравнении с эталонным решением (линия 1). Как видно, сходимость результатов, полученных по формуле (1), происходит существенно быстрее, чем по методу эквивалентного объемного интегрирования. В частности, количество неизвестных дискретной модели, необходимых для получения величин  $J$ -интеграла с погрешностью в пределах 0,5% по формуле (1), примерно в 3,5 раза меньше, чем приведенное в работе [9].

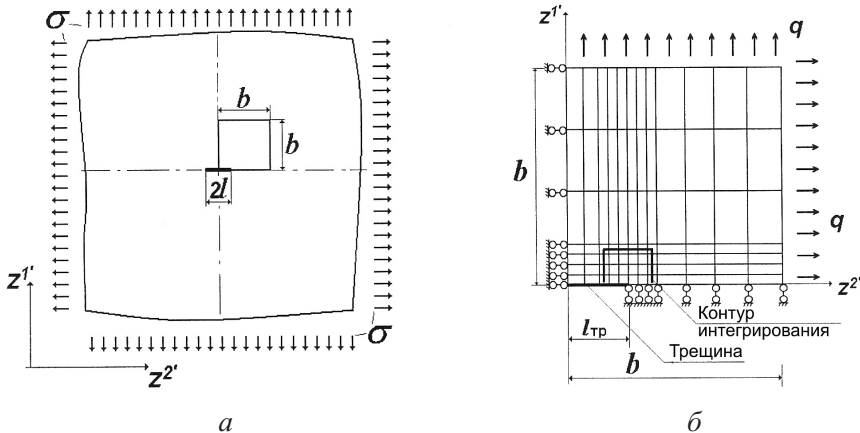


Рис. 7. Расчетная схема (а) и поперечное сечение дискретной модели ПМКЭ (б) для бесконечной пластины.

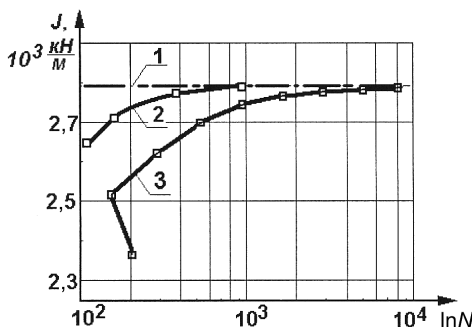


Рис. 8

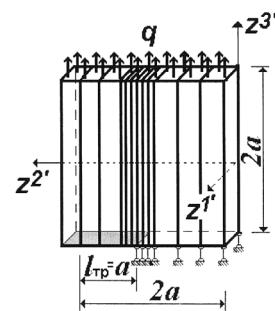


Рис. 9

Рис. 8. Результаты вычисления  $J$ -интеграла в бесконечной пластине.

Рис. 9. Дискретная модель ПМКЭ пластины с центральной трещиной как тела с поперечной трещиной.

Для проверки достоверности разработанной методики при использовании дискретных моделей ПМКЭ для тел с поперечными трещинами при постоянных вдоль фронта значениях параметров механики разрушения было определено значение  $J$ -интеграла для пластины с центральной трещиной с помощью приведенной на рис. 9 дискретной модели. На поверхностях пластины при  $z^1' = \pm l/2$  реализованы граничные условия, соответствующие условиям плоской деформации ( $u^1 = 0$ ). Значения  $J$ -интеграла, полученные для

случаев продольной и поперечной трещин, совпадают между собой и с эталонными результатами.

Дальнейшую апробацию методики проводили на пространственных задачах о деформировании тел с неравномерным распределением параметров механики разрушения вдоль фронта трещины. Рассмотрены задачи об определении распределения параметров механики разрушения вдоль фронта трещины для бесконечного (рис. 10,*a*) и полубесконечного (рис. 10,*b*) тел соответственно с эллиптической и полуэллиптической трещинами.

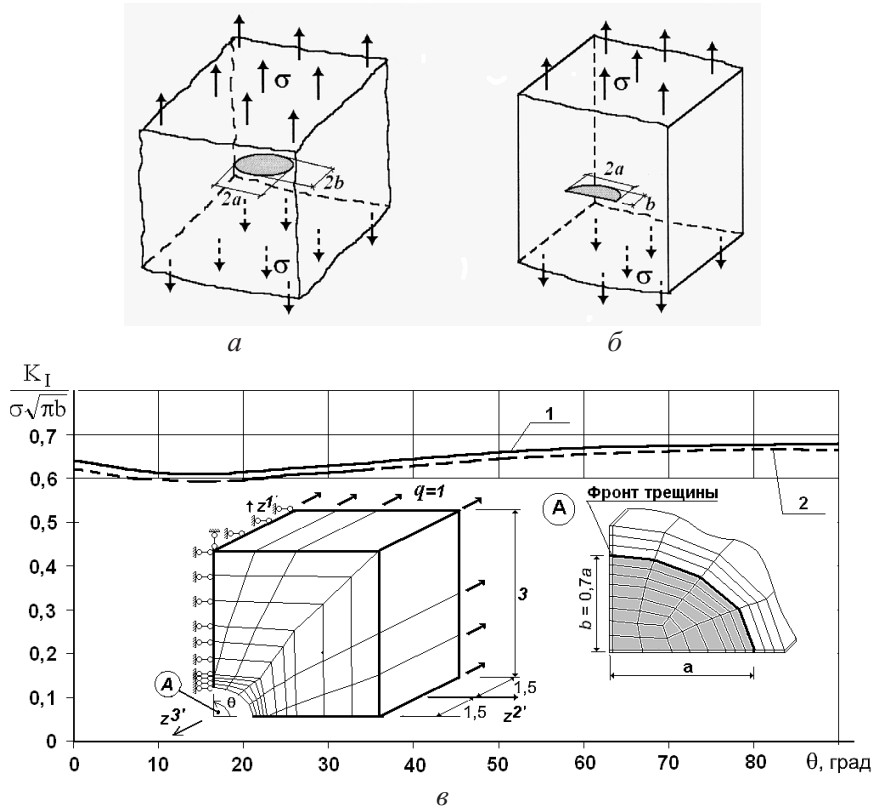


Рис. 10. Определение  $J$ -интеграла в телах с поперечными трещинами: расчетные схемы бесконечного (*a*) и полубесконечного (*b*) тел с эллиптической и полуэллиптической трещинами, дискретная модель ПМКЭ и распределение КИН вдоль фронта трещины (*c*): 1 – данные по ПМКЭ; 2 – данные [10].

Распределение КИН вдоль фронта трещины, полученное на основании значений  $J$ -интеграла, вычисленных с использованием дискретной модели ПМКЭ тела с поперечной трещиной (рис. 10,*c*) по формуле (1) для полубесконечного тела с полуэллиптической трещиной, с точностью около 5% совпало с решением, приведенным в работе [10]. Аналогичные результаты получены также для бесконечного тела с эллиптической трещиной.

Таким образом, методика вычисления  $J$ -интеграла с помощью соотношений (1), (2) при соблюдении сформулированных и обоснованных выше требований к дискретной модели и контуру интегрирования обеспечивает получение достоверных результатов с использованием ПМКЭ для объектов с

продольными и поперечными трещинами при постоянных вдоль фронта значениях параметров механики разрушения и объектов с поперечными трещинами при неравномерном распределении параметров механики разрушения вдоль фронта трещины.

Дальнейшее исследование достоверности результатов для пространственных задач проведено при рассмотрении тестового примера по определению  $J$ -интеграла для призматического тела с боковым надрезом (рис. 11). Решение этого примера в двухмерной постановке при дискретизации согласно сформулированным выше требованиям (использование регулярной конечно-элементной сетки с характерным размером КЭ 1/10 длины трещины) позволяет определить величины  $J$ -интеграла, совпадающие как с приведенным в работе [10] эталонным значением с погрешностью в пределах 2%, так и с полученными прямым методом результатами.

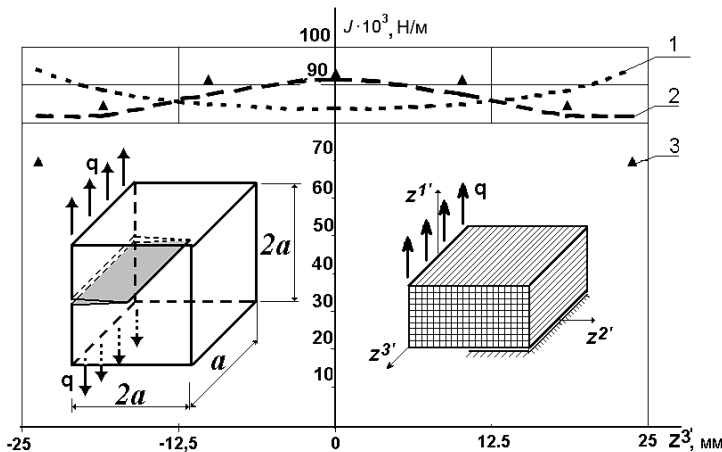


Рис. 11. Расчетная схема, дискретная модель ПМКЭ и распределение  $J$ -интеграла вдоль фронта боковой трещины в призматическом теле при упругом деформировании.

При решении задачи в пространственной постановке данный объект рассматривается как тело с продольной трещиной, конечноэлементная сетка ПМКЭ в поперечном сечении тела (в плоскости  $z^1' - z^2'$ ) принята такой же, как для двухмерной задачи. Это позволяет получить эталонное решение на основании вычисленных прямым методом величин КИН [7] и исключить при анализе результатов погрешности, связанные с конечноэлементной дискретизацией. Полученные результаты показывают, что для данного объекта распределение  $J$ -интеграла вдоль фронта трещины является существенно неравномерным. При этом обнаружены значительные отличия не только количественного, но и качественного характера в распределениях  $J$ -интеграла вдоль фронта трещины, полученных с использованием разных контуров ( $1 - N_e = 9$ ;  $2 - N_e = 3$ ) по сравнению с эталонным решением (кривая 3) – рис. 11.

На рис. 12 приведены абсолютные погрешности вычисления  $J$ -интеграла на боковых поверхностях (кривая 1) и в центре (кривая 2) призматического тела, полученные с использованием контуров, показанных на фрагменте поперечного сечения пространственной конечноэлементной модели ПМКЭ. Как видно, с увеличением размера контура интегрирования погрешность не-

уклонно возрастает, достигая 55%, ее значения разные в разных точках фронта трещины. Необходимо отметить, что аналогичное распределение  $J$ -интеграла было получено также с использованием трехмерного МКЭ (3D МКЭ).

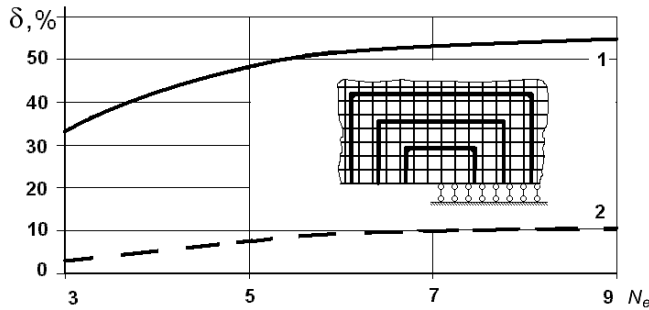


Рис. 12. Контуры и абсолютные погрешности вычисления  $J$ -интеграла в призматическом теле с боковой трещиной.

Согласно определению  $J$ -интеграла для континуальных областей, при интегрировании по замкнутому контуру его величина должна быть равной нулю. Как показывают проведенные исследования, при замыкании использованных ранее П-контуров интегрирования линией вдоль поверхности трещины (рис. 13) величина  $J$ -интеграла  $J_0$ , вычисленная по такому замкнутому прямоугольному контуру, не равна нулю. Причем характер отличия от нуля интеграла по замкнутому контуру  $\delta_{J_0}$  при разной степени сгущения сетки эквивалентен характеру погрешности вычисления  $J$ -интеграла по П-контуру: величины погрешностей разные для разных точек фронта трещины (на рис. 13 кривая 1 – на боковых поверхностях, кривая 2 – в центре призматического тела), абсолютная величина погрешности достигает 60%.

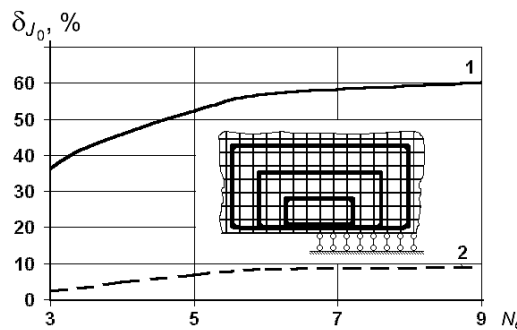


Рис. 13. Замкнутые контуры и абсолютные погрешности вычисления  $J$ -интеграла в призматическом теле с боковой трещиной.

Для исследования достоверности результатов при упругопластическом деформировании пространственного тела с боковым надрезом была рассмотрена расчетная схема, в которой для предотвращения возникновения локальных пластических деформаций приложение нагрузки осуществляется по поверхности  $z^2 = 0$ :  $q_1 = q/a$  (рис. 14). Обеспечение сходимости результатов описания напряженно-деформированного состояния при наличии деформаций плас-

тичности потребовало использования конечноэлементной сетки с характерным размером КЭ, который в три раза меньше, чем при упругом деформировании ( $30 \times 60$  КЭ). Поперечное сечение дискретной модели ПМКЭ приведено на рис. 14.

Как и в случае упругого деформирования, полученные результаты позволяют обнаружить существенные отличия не только количественного, но и качественного характера в распределении  $J$ -интеграла вдоль фронта трещины на разных контурах ( $1 - N_e = 20; 2 - N_e = 12; 3 - N_e = 9; 4 - N_e = 3$ ) по сравнению с эталонным решением при последовательном сгущении конечно-элементной сетки до достижения погрешности вычисления  $J$ -интеграла между двумя решениями в пределах 2% (кривая 5) – рис. 14.

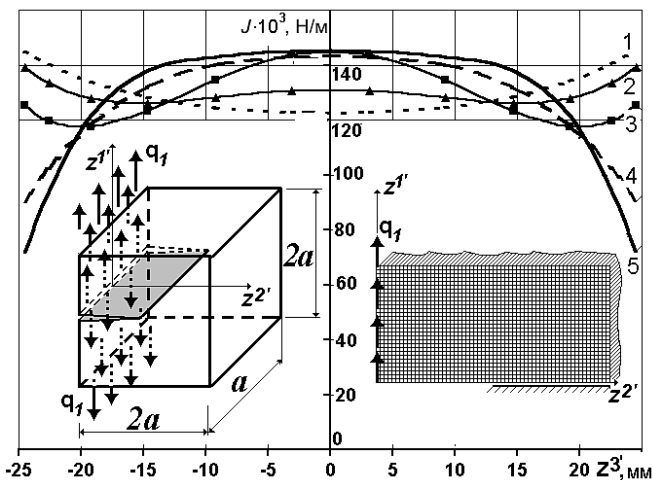


Рис. 14. Расчетная схема, поперечное сечение дискретной модели ПМКЭ и распределение  $J$ -интеграла вдоль фронта боковой трещины в призматическом теле при упругопластическом деформировании.

Исследования сходимости результатов показывают, что более точное вычисление  $J$ -интеграла требует значительного сгущения конечноэлементной сетки (рис. 15), что соответственно приводит к неоправданно большим вычислительным затратам. Кроме того, необходимо накладывать ограничения на размерность контура интегрирования. В данной задаче для достижения погрешности вычисления  $J$ -интеграла как по замкнутому контуру (на рис. 15 кривая 1), так и по П-контуру (на рис. 15 кривая 2) с точностью 2% потребовалось использовать дискретные модели, в которых соотношение размеров КЭ и трещины  $\frac{l_e}{l_{tp}} = \frac{1}{120}$  при контуре интегрирования  $N_e = 3$ . В

случае решения задачи упругопластического деформирования призматического тела соответствующие погрешности в определении  $J$ -интеграла (на рис. 15 кривые 3, 4) оказались больше в два раза.

Таким образом, процедура вычисления контурного  $J$ -интеграла с использованием величин напряжений и градиентов перемещений (формулы (1), (2)) позволяет получать достоверные результаты определения  $J$ -интеграла в двухмерных задачах упругого и упругопластического деформирования. При этом

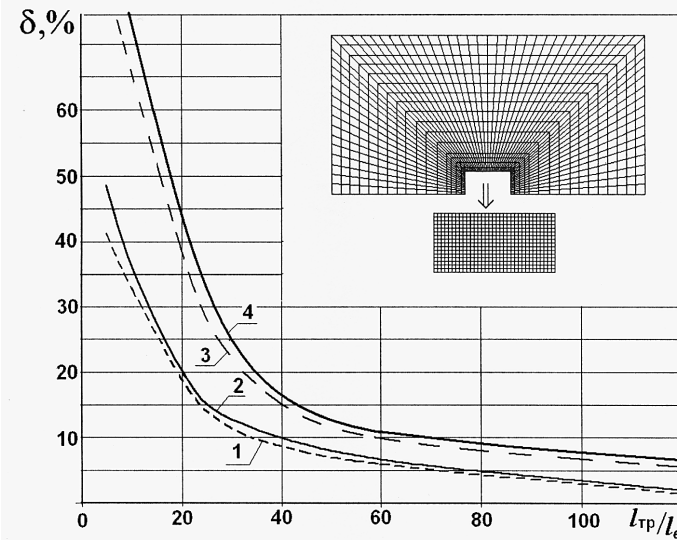


Рис. 15. Погрешности в вычислении  $J$ -интеграла по замкнутому контуру в призматическом теле с боковой трещиной.

достаточным является использование в окрестности вершины трещины области сгущения сетки с характерными размерами КЭ  $1/10$  размеров трещины и контура, проходящего на расстоянии трех характерных размеров конечного элемента от вершины трещины. Использование этих параметров при реализации методики обеспечивает ее эффективность по сравнению с методом объемного эквивалентного интегрирования, который широко применяется при конечноэлементном вычислении  $J$ -интеграла. Результаты определения контурного  $J$ -интеграла в ряде пространственных задач упругого деформирования с использованием ПМКЭ также являются достоверными и совпадают с полученными на основе традиционного трехмерного метода конечных элементов. Однако в некоторых случаях получение достоверных результатов решения пространственной задачи требует значительного сгущения конечноэлементной сетки и наложения ограничений на размерность контура интегрирования, что приводит к неоправданным вычислительным затратам. Следовательно, методика вычисления контурного  $J$ -интеграла с использованием величин напряжений и градиентов перемещений не является универсальной и эффективной при конечноэлементном решении всех классов задач механики разрушения. В связи с этим актуален вопрос разработки и реализации новой эффективной методики вычисления  $J$ -интеграла, которая обеспечивала бы его инвариантность в дискретных моделях МКЭ.

## Резюме

Викладено теоретичні підходи і методику обчислення параметрів нелінійної механіки руйнування в призматичних тілах із тріщинами з використанням методу скінченних елементів. Проаналізовано ефективність запропонованих підходів і вірогідність отримуваних результатів.

1. Баженов В. А., Гуляр А. И., Сахаров А. С., Топор А. Г. Полуаналитический метод конечных элементов в механике деформируемых тел. – Киев: НИИ СМ, 1993. – 376 с.
2. Баженов В. А., Гуляр О. І., Пискунов С. О., Сахаров О. С. Напіваналітичний метод скінчених елементів в задачах руйнування просторових тіл. – Київ: КНУБА, 2005. – 298 с.
3. Гречух Н. А., Пискунов С. О., Остапенко Р. М. Обчислення КІН в просторових тілах обертання при температурному навантаженні // Опір матеріалів і теорія споруд. – 2006. – № 80. – С. 38 – 53.
4. Баженов В. А., Гуляр А. И., Пискунов С. О., Шкриль А. А. Определение ресурса лопатки газовой турбины с учетом разрушения // Пробл. прочности. – 2008. – № 5. – С. 28 – 36.
5. Черепанов Г. П. Механика хрупкого разрушения. – М.: Наука, 1974. – 640 с.
6. Rice J. A path independent integral and the approximate analysis of strain concentrations by notches and cracks // J. Appl. Mech. – 1968. – No. 4. – P. 379 – 386.
7. Баженов В. А., Гуляр О. І., Пискунов С. О. та ін. Метод реакцій для обчислення  $J$ -інтеграла в просторових нелінійних задачах механіки руйнування // Опір матеріалів і теорія споруд. – 2006. – № 79. – С. 3 – 17.
8. Морозов Е. М., Никишков Г. П. Метод конечных элементов в механике разрушения. – М.: Наука, 2007. – 256 с.
9. Giner E., Fuenmayor F., Baeza L., and Tarancón J. Error estimation for the finite element evaluation of  $G_I$  and  $G_{II}$  in mixed-mode linear elastic fracture mechanics // Finite Elements in Analysis and Design. – 2005. – **41**. – P. 1079 – 1104.
10. Саврук М. П. Механика разрушения и прочность материалов: Справочное пособие. Т. 2: Коэффициенты интенсивности напряжений в телах с трещинами. – Киев: Наук. думка, 1988. – 620 с.

Поступила 18. 06. 2009